

CONJUNTO CANÓNICO

INTRODUCCIÓN

- En el conjunto microcanónico:
 - Estamos desprendiendo la interacción con el exterior, que sigue la ley.
 - Los cálculos son muy difíciles, a medida la cosa se complica un poco.
- Consideraremos un número de copias extraordinariamente grande de nuestro sistema, que utilizaremos como reservorio.

Muy dos posibles tratamientos:

a) Sistema + reservorio forman un conjunto microcanónico (total del sistema canónico)

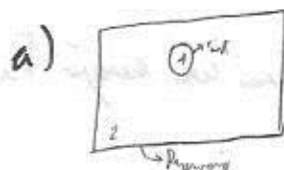
b) Sistema + reservorio forman un conjunto mixto de ambos sistemas,

Estudiaremos la distribución estadística de la energía (método de Boltzmann)

ambos son equivalentes

FUNCIÓN DE PARTICIÓN

- Veremos que esta función tiene toda la información del sistema (igual que el volumen en el microcanónico).



$$E = E_{1n} + E_{2n} - E_{int} \quad (E_{2n} \ggg E_{1n})$$

1n 2n Todas las otras partes
El sistema es igual a n
del sistema

Consideraremos al sistema como ideal $\Rightarrow E_{int} = 0$

Las características de nuestro sistema se verán dadas por el grado de complejidad del sistema, que dan la misma información que el grado de complejidad del reservorio

$$\Omega(E_{2n}) = \Omega(E_t - E_{1n})$$

$E_{1n} \ll E_t \Rightarrow$ Dicho desarrollo es válido

$$\ln \mathcal{N}(E_{2n}) \approx \ln \mathcal{N}(E_1) - \frac{\partial \ln \mathcal{N}}{\partial E_{1n}} \Bigg|_{E_{2n}=E_1} + \dots$$

Como estamos en un microcanónico, $S = k \ln \mathcal{N}$

$$\downarrow \\ \frac{\partial \ln \mathcal{N}}{\partial E} = \frac{1}{k} \left(\frac{\partial S}{\partial E} \right) = \frac{1}{kT}$$

$$A_n; \quad \mathcal{N}(E_{2n}) = \text{cte. } e^{-\frac{E_{1n}}{kT}}$$

De ahora en adelante, escribiremos $E_{1n} \equiv E_n$

$$\text{Como } P \propto \mathcal{N} \Rightarrow P_n \propto e^{-\frac{E_n}{kT}}$$

Ahí, normalizado P_n :

$$P_n = \frac{e^{-\frac{E_n}{kT}}}{\sum_s e^{-\frac{E_s}{kT}}}$$

(se escribe como $\beta = \frac{1}{kT}$)

De ahora en adelante denotaremos $Q(\beta) = \sum_s e^{-\frac{E_s}{kT}}$, función de partición canónica

(conocido de \mathcal{N} , β representa, de algún modo, un valor)

Leyendo de partición el valor, el valor de los freíos, el sistema en reposo (el menor cantidad)

i) Tenemos en conjunto N de sistemas, con N muy grande

La energía de cada sistema sea fluctuante, y habrá n_i ; sistemas con energía E_i , a igual.

Hay, así, dos igualdades:

$$\sum_n n_i = N$$

$$\sum_n n_i E_i = VN$$

El número de distribuciones posibles es, entonces, igual a

$$W(\tilde{n}_n) = \frac{N!}{\tilde{n}_1! \tilde{n}_2! \tilde{n}_3! \dots} = \frac{N!}{\prod \tilde{n}_n!}$$

→ entre las distribuciones dentro del mismo nivel de energía

El valor más probable de la distribución es aquél que maximiza $W(\tilde{n}_n)$:

$$\sum \delta \ln W(\tilde{n}_n) = 0$$

Con Wealtz, trabajas con la W :

$$\sum \delta \ln W(\tilde{n}_n) = 0$$

Tomando $\ln n! = n \ln n - n$:

$$\sum \delta \ln W(\tilde{n}_n) = \sum (1 + \ln \tilde{n}_n) \delta \tilde{n}_n = 0$$

Aplicar el método de los multiplicadores de Lagrange:

$$\sum \delta \tilde{n}_i = 0$$

$$\sum E_n \delta \tilde{n}_n = 0$$

$$(\sum (1 + \ln \tilde{n}_n) \delta \tilde{n}_n) - \alpha (\sum \delta \tilde{n}_i) - \beta (\sum E_n \delta \tilde{n}_n) = 0$$

Ari:

$$\ln \tilde{n}_n = \text{cte.} - \beta E_n$$

$$\tilde{n}_n = \text{cte.} e^{-\beta E_n}$$

Luego se determina con la ligadura:

$$\tilde{V} = \frac{\sum E_n e^{-\beta E_n}}{\sum e^{-\beta E_n}}$$

que que es el efecto a) si $\tilde{n} = \underline{E_n}$

la función de partícula!!!

• Analizar la relación entre \bar{n} y $\langle n \rangle$. Sabemos que dentro de las igualdades entre:

$$P_n = \frac{e^{-\beta E_n}}{Z}$$

$$P'_n = \frac{\bar{n}_n}{Z}$$

para derivar esto se utiliza el método de perturbación. (En el capítulo 10.1 de Hung y en el 10.2 del libro)

• Todo este razonamiento se puede hacer teniendo para una sola partícula. Sección en la rotación:

z : una partícula

Z : muchas partículas

para sistemas ideales, $Z = z^N$

• Notese que en Q no hemos considerado los sistemas continuos, donde vamos a tener indistinguishability.

Aquí es válida la fórmula $Z = \frac{1}{N! h^{3N}} \int e^{-\beta E(\vec{q}, \vec{p})} d\vec{q} d\vec{p}$

Mucha
utilidad de volúmenes
(degres de libertad)

• Aquí no hemos tenido en cuenta la degeneración de los estados cuánticos:

$$Z = \sum g_n e^{-\beta E_n} \quad P(E_n) = \frac{g_n e^{-\beta E_n}}{Z}$$

• En el continuo es útil introducir la densidad de estados:

$$P(E) dE = \frac{1}{Z} e^{-\beta E} \frac{w(E) dE}{\text{Densidad de Estados}} \quad (\text{junto al resto de la degeneración})$$

en el sistema cuántico (ver 6.1)

$$\text{con } Z = \int e^{-\beta E} w(E) dE \quad w \text{ es un factorial} \quad (p = \frac{dE}{\partial V}, w = \frac{dE}{\partial V})$$

La w equivale a la w introducida en el apartado microcanónico.

• Esto es útil porque, convierte Z , se puede hallar $w(E)$; ya que Z es la transformada de Laplace de w . Si $\beta = \beta' + i\beta''$: (sustituir todo β)

$$w(E) = \frac{1}{2\pi i} \int_{\beta'-i\infty}^{\beta'+i\infty} e^{(\beta'+i\beta'')E} Z(\beta'+i\beta'') d\beta'$$

O, de otra manera,

$$w(E) = \frac{1}{2\pi i} \int_{S-i\infty}^{S+i\infty} \frac{e^{sx}}{s - \beta''} dx = \begin{cases} \frac{x^n}{n!} & \text{si } x \geq 0 \\ 0 & \text{caso contrario} \end{cases}$$

CONEXIÓN CON LA TERMODINÁMICA

. Intentaras relacionar Z con la termodinámica.

. Escribo $Z = e^{-\beta \phi}$, con ϕ una función a determinar. Así, $\frac{1}{N!h^{3N}} \int e^{\beta(\phi - H)} d\phi d\vec{p} = 1$ (igual a Z y dividido)

Derivo respecto a β : (supongo $\phi = \phi(\beta)$)

$$0 = \frac{1}{N!h^{3N}} \int [\phi - H + \beta \frac{\partial \phi}{\partial \beta}] e^{\beta(\phi - H)} d\phi d\vec{p}$$

$$0 = \frac{1}{N!h^{3N}} \left[\phi + \beta \frac{\partial \phi}{\partial \beta} - \int H e^{-\beta H} d\phi d\vec{p} \right] e^{\beta \phi} = 0$$

$\langle H \rangle = V$

$$V = \phi + \beta \frac{\partial \phi}{\partial \beta} \quad (\text{no importa el logro!!!})$$

. Ahora bien, salvo de termodinámica que $V = F + \beta \frac{\partial F}{\partial \beta}$ ($\beta \frac{\partial F}{\partial \beta} = \frac{1}{kT} \frac{\partial F}{\partial T} = \frac{1}{kT} \frac{\partial F}{\partial T} \frac{1}{N!h^{3N}} = -k \frac{\partial F}{\partial T}$)

. Así, $\phi = F$, salvo recto. Por tanto:

$$F = -kT \ln Z$$

(así, a partir de Z , calcular F , salvo una cuestión fija, y tener todo lo termodinámico)

$$\text{P.ej.: } \left(\frac{\partial F}{\partial V} \right)_{N,T} = -P \Rightarrow P = kT \left(\frac{\partial \ln Z}{\partial V} \right)_{N,T}$$

$$\left(\frac{\partial F}{\partial N} \right)_{V,T} = \mu \Rightarrow \mu = -kT \left(\frac{\partial \ln Z}{\partial N} \right)_{V,T}$$

$$\left(\frac{\partial F}{\partial T} \right)_{V,N} = -S \Rightarrow S = k \ln Z + kT \left(\frac{\partial \ln Z}{\partial T} \right)_{V,N}$$

$$U = F - TS = - \left(\frac{\partial \ln Z}{\partial \beta} \right)_{V,N}$$

$$C_V = \left(\frac{\partial U}{\partial T} \right)_{V,N} = K_B^2 \left(\frac{\partial^2 \ln Z}{\partial \beta^2} \right)_{V,N}$$

Vamos a estudiar el efecto del calor y el trabajo en la estructura microscópica:

$$P_i = - \frac{\sum_{j=1}^{N-1} \frac{\partial E_j}{\partial V} e^{-\beta E_j}}{\sum_{j=1}^{N-1} e^{-\beta E_j}} = - \sum_{j=1}^{N-1} \frac{\partial E_j}{\partial V} \left(\frac{e^{-\beta E_j}}{Z} \right)$$

"P_i = \frac{1}{N} \sum c_{n,i} > dE"

$$- P_dV = \frac{1}{N} \sum c_{n,i} > dE$$

Ahí, al realizar un trabajo, según la 1^a expresión varía las energías que no las poblaciones.

Pero la 2^a expresión, que me habla de calor, varía las poblaciones de los niveles pero no sus energías.

Zimatek

FLUCTUACIONES

Queremos ver si los cálculos en ambos conjuntos son los mismos. Es decir, si el resultado medio y valor más probable. Es decir, si $\frac{\langle E^2 \rangle - \langle E \rangle^2}{\langle E \rangle^2} \rightarrow 0$

Esto lo justificaria el haber hecho los cálculos ate $E + \Delta$. Y que en el cañónico normativo de E , pero si la fluctuación es muy pequeña, el sistema está súper en F.

$$\langle E \rangle = V = \frac{\sum g_i E_i e^{-\beta E_i}}{\sum g_i e^{-\beta E_i}}$$

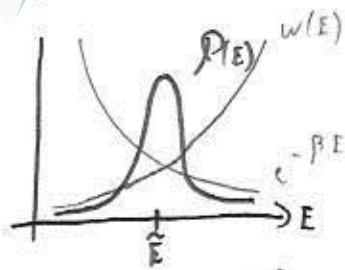
$$\text{Al final, } \frac{\partial V}{\partial \beta} \approx \langle E^2 \rangle - \langle E \rangle^2$$

$$\text{Así, } \frac{\langle E^2 \rangle - \langle E \rangle^2}{\langle E \rangle^2} = \frac{\frac{\partial V}{\partial \beta}}{V^2} = kT \frac{C_V}{V^2} \sim \frac{1}{N} \rightarrow 0 \text{ porque } N \text{ es muy grande}$$

Es decir, la fluctuación tiene a 0. Esto es válido en general para malgas reservas.

Ahora aborda lo que en principios de curso impusimos de forma probabilística: $P(E)$ tiene un máximo.

$$\text{Con } P(E) \propto w(E) e^{-\beta E}$$



$$\text{Así, } \frac{\partial P(E)}{\partial E} = 0; \left[\frac{\partial w(E)}{\partial E} - w(E) \beta \right] e^{-\beta E} = 0; \left. \frac{\partial \ln w(E)}{\partial E} \right|_{E=Ē} = \beta$$

$$\text{Como } S = k \ln w(E), \quad \left. \frac{1}{k} \left(\frac{\partial S}{\partial E} \right) \right|_{E=Ē} = \beta \Rightarrow \boxed{\beta = \frac{1}{kT}}, \text{ sea cual sea el sistema.}$$

(Probabilidad multiplicada del logaritmo)

Comprobemos que la anchura de la gaussina es $\sim \frac{1}{\sqrt{N}}$, desarrollando en series Torno a \tilde{E} (valores más probables)

→ Al final solo quedan

$$\ln \mathcal{P}(E) = (\ln w(E) - \beta E) \Big|_{E=\tilde{E}} + \frac{\partial}{\partial E} [\ln w(E) - \beta E] \Big|_{E=\tilde{E}} - \frac{1}{2} \frac{\partial^2}{\partial E^2} [\quad] \Big|_{E=\tilde{E}}$$

luego las mitades:

$$\ln \mathcal{P}(E) = \left(\frac{S}{k} - \frac{U}{kT} \right) - \frac{(E-U)^2}{2kT^2 C_v}$$

$$\mathcal{P}(E) \propto e^{-\frac{(E-U)^2}{2kT^2 C_v}}, \text{ una Gaussiana de anchura } \sqrt{\frac{2kT^2 C_v}{U^2}} = \sqrt{\frac{1}{N}}.$$

$$= \sqrt{\frac{\langle E^2 \rangle - \langle E \rangle^2}{\langle E \rangle^2}} \Rightarrow \underline{\text{la fluctuación es la anchura de la Gaussiana}}$$

- Así, al ser un sistema extraordinariamente grande, la termodinámica no distingue entre el conjunto microcanónico y el canónico.

Zimatek

EJEMPLOS DE APLICACIÓN DEL CONJUNTO CANÓNICO

El procedimiento es, en apariencia, sencillo:

$$\mathcal{H} \rightarrow Z \rightarrow F \Rightarrow \text{Magnitudes físicas del sistema}$$

GAS IDEAL CLÁSICO

$$\mathcal{H} = \sum_{i=1}^N \frac{\mathbf{p}_i^2}{2m} \quad (\text{si las partículas fueran diferentes, habría venas } m_i)$$

$$Z = \frac{1}{N! h^{3N}} \int e^{-\beta \sum \frac{\mathbf{p}_i^2}{2m}} d^3 q_i d^3 p_i = \frac{1}{N! h^{3N}} V^N \prod_{i=1}^N \left(\int e^{-\beta \frac{\mathbf{p}_i^2}{2m}} 4\pi p_i^2 dp_i \right) :$$

↑
Hiperboloides
↓
Integración

$$= \frac{V^N}{N! h^{3N}} (2\pi m kT)^{3N/2} = \frac{1}{N!} \left[\frac{V}{h^3} (2\pi m kT)^{3/2} \right]^N$$

$$F = -kT \partial Z = kT \ln N! - NkT \ln \left[\frac{V}{h^3} (2\pi m kT)^{3/2} \right]^N$$

Si hace falta utilizarlo, $\ln N! = N \ln N - N$

$$P = - \left(\frac{\partial F}{\partial V} \right)_{T,N} = \frac{NkT}{V} \Rightarrow P \cdot V = NkT$$

$$S = - \left(\frac{\partial F}{\partial T} \right)_{V,N} = (...) : \text{fórmula de Sackur-Tetrode}$$

$$\mu = \left(\frac{\partial F}{\partial N} \right)_{T,V} = kT \ln \left[\frac{N}{V} \left(\frac{h^2}{2\pi m kT} \right)^{3/2} \right]$$

$$U = - \left(\frac{\partial \ln Z}{\partial \beta} \right)_{V,N} = (...) = \frac{3}{2} NkT \Rightarrow C_V = \frac{3}{2} Nk$$

Si hay angulación o rotación o vibración, las cosas cambian (aunque $U = \frac{1}{2} kT$ por grado de libertad)

la densidad de estados vale:

$$w(E) = \frac{1}{2\pi i} \int e^{\beta E} Z(\beta) d\beta = \underbrace{\frac{1}{N!} \left[\frac{V}{h^3} (2\pi\hbar)^{3/2} \right]^N}_{= A} \frac{1}{2\pi i} \int \frac{e^{\beta E}}{\beta^{3N/2}} d\beta$$

Otra integral u del tipo $\int \frac{e^{sx}}{x^n} = \begin{cases} \frac{x^{n-1}}{s^{n-1}} & x \geq 0 \\ 0 & \text{caso contrario} \end{cases}$

Añ; $w(E) = A \frac{E^{3N/2-1}}{(\frac{3N}{2}-1)!}$
valores de los momentos

Con $w(E) = \frac{\partial \Sigma(E)}{\partial E}$. Se puede comprobar que el cálculo de Σ da lugar a la misma
 calculadora.

OSCILADORES ARMÓNICOS

Ejercicios con nodos clásicos:

$$\mathcal{H} = \sum_i \frac{p_i^2}{2m} + \frac{1}{2} m \omega^2 q_i^2$$

$$Z = \left(\frac{1}{h} \int e^{-\beta H_0} dq_1 dq_2 \dots dq_N \right)^N ; \text{ con } H_0 = \frac{p^2}{2m} + \frac{1}{2} m \omega^2 q^2$$

Distinguidos
Vindimiales

$$Z = \left[\frac{1}{h} \int e^{-\frac{p^2}{2m}} dp \int e^{-\beta \frac{1}{2} m \omega^2 q^2} dq \right]^N = \left[\frac{1}{h} \left(\frac{\pi}{\beta \hbar \omega} \right)^{1/2} \left(\frac{\pi}{\beta \hbar \omega} \right)^{1/2} \right]^N$$

$\int e^{-z^2} dz = \sqrt{\pi}$

$$= \left(\frac{1}{\beta \hbar \omega} \right)^N = z$$

$$\text{Añ;} F = -kT \partial_z z = -NkT \ln \frac{1}{\beta \hbar \omega} = NkT \ln \beta \hbar \omega = NkT \ln \frac{\hbar \omega}{kT} = -NkT \ln \frac{kT}{\hbar \omega}$$

$$S = -\left(\frac{\partial F}{\partial T} \right)_N = NK \left[\ln \frac{kT}{\hbar \omega} + 1 \right]$$

$$U = F + TS = NKT \quad (\text{con otra relación para el pp. de equipartición})$$

$$C_V = \left(\frac{\partial U}{\partial T} \right)_{V,N} = NK$$

$$\mu = \left(\frac{\partial F}{\partial N} \right)_{T,V} = -KT \ln \frac{kT}{\hbar w}$$

La densidad de estados vale $w(E) = \frac{1}{2\pi\hbar} \int e^{-\beta E} Z(\beta) d\beta = \frac{1}{2\pi\hbar} \left(\frac{1}{\hbar w} \right)^N \int \frac{e^{-\beta E}}{\beta^N} d\beta =$

$$= \left(\frac{1}{\hbar w} \right)^N \frac{E^{N-1}}{(N-1)!} = \frac{\partial \Sigma(E)}{\partial E} \Rightarrow \Sigma(E) = \left(\frac{1}{\hbar w} \right)^N \frac{E^N}{N!}$$

$$\text{Con } N-1 \approx N, S = k \ln w(E) = K \ln \Sigma(E)$$

El modelo cuántico es más complejo. En el modelo de Einstein, suponemos que los osciladores en las 3 direcciones son independientes; siendo cada uno independiente de los demás. Así, para Nátomos, tienen $3N$ osciladores individuales.

Matemáticamente, el efecto de frecuencia es $\omega(\omega) = 3N \delta(\omega - \omega_E)$ Frecuencia Einstein
Si introducimos una temperatura característica de Einstein $\Theta_E = \frac{\hbar \omega_E}{k}$ → todos los osciladores vibran al mismo frecuencia

Para cristales diatómicos (o poliatómicos), el modelo fallaría. $\omega_{\text{rot}} \ll \omega$

$$\text{De allí se deduce } \mathcal{E}_n = \left(n + \frac{1}{2}\right) \hbar \omega \Rightarrow Z = z^N = \left(\sum_{n=0}^{\infty} e^{-\beta \mathcal{E}_n}\right)^N = \left[\sum_{n=0}^{\infty} e^{-\beta \left(n + \frac{1}{2}\right) \hbar \omega}\right]^N$$

$$= \left(\frac{e^{-\beta \frac{\hbar \omega}{2}}}{1 - e^{-\beta \hbar \omega}} \right)^N = \left(\frac{1}{2 \sinh\left(\frac{1}{2} \beta \hbar \omega\right)} \right)^N$$

Multiplicar por $e^{\frac{1}{2} \beta \hbar \omega}$

$$F = -kT \partial_z Z = -NKT \partial_z \frac{1}{2 \sinh\left(\frac{1}{2} \beta \hbar \omega\right)} = NKT \ln(2 \sinh\left(\frac{1}{2} \beta \hbar \omega\right))$$

$$S = -\left(\frac{\partial F}{\partial T} \right)_{V,N} = -\frac{\partial}{\partial T} \left[-NKT \ln \left(\frac{e^{-\frac{1}{2} \beta \hbar \omega}}{1 - e^{-\beta \hbar \omega}} \right) \right] = NK \left[\frac{\beta \hbar \omega}{e^{\beta \hbar \omega} - 1} - \ln(1 - e^{-\beta \hbar \omega}) \right]$$

Diferente de la fórmula clásica (todo ello si $T \gg \hbar \omega$)

$$A_T; V = F_T T S = N \left[\frac{1}{2} \hbar w + \frac{\hbar w}{e^{\beta \hbar w} - 1} \right]$$

Ver que a T bajo, $V \rightarrow \frac{1}{2} N \hbar w$: existe un agujero de punto cero (NE)

$$C_V = \left(\frac{\partial V}{\partial T} \right)_{T, N} = N K \left(\beta \hbar w \right)^2 \frac{e^{\beta \hbar w}}{(e^{\beta \hbar w} - 1)^2} \neq N K$$

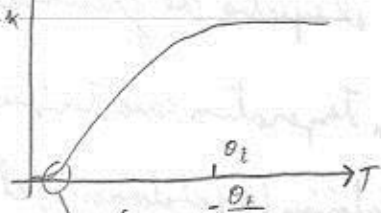
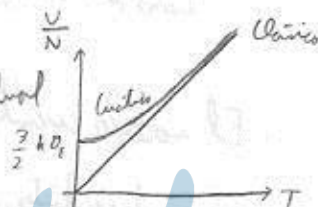
de hecho, $C_V = C_V(T, w)$

- Tomando $N \rightarrow 3N$ se llega inmediatamente al modelo de Einstein:

$$V = \frac{3}{2} N \hbar w_E + \frac{3 N \hbar w_E}{e^{\beta \hbar w_E} - 1}$$

$$V = \frac{3}{2} N K \theta_E + \frac{3 N K \theta_E}{e^{\frac{\theta_E}{T}} - 1} \rightarrow \text{Hay una singularidad}$$

$$C_V = 3 N K \frac{e^{\frac{\theta_E}{T}}}{(e^{\frac{\theta_E}{T}} - 1)^2} \frac{\theta_E^2}{T^2} \frac{C_V}{N} = \frac{3 K}{\theta_E^2} e^{-\frac{\theta_E}{T}}$$



\hookrightarrow Apunta bastante hacia arriba en el límite de $T \rightarrow 0$

- Debye propone un efecto $n(w) = c w^2$ (que los otros ocultan son similares que el Debye, y se atropella en el agujero óptico)

Luego se obtienen las w_{max}

Definir $\Theta_D = \frac{\hbar w_0}{k}$. Para evitar divergencias, definir una w_{min} por encima de la cual no vibra

$$\int_0^{w_p} n(w) dw = 3N \Rightarrow \frac{c}{3} w_D^3 = 3N \Rightarrow c = \frac{9N}{w_D^3}$$

$$n(w) = \frac{9N}{w_D^3} w^2$$

Un modelo más realista es

$$U = \sum_i \epsilon_i(w)$$

↓
Sustituir en el sistema de frenos.

- Esto restringió mediante la teoría de redes dinámica (Born). De todos formas, la teoría de Debay da una precisión altísima, ya que sus resultados coinciden con los de Born.
- Si el sólido tiene más interacciones (p.ej., sólido magnético), aparecen giros superpuestos a la curva general.

PARAMAGNETISMO

Consideremos lo que se debería comportar un ideal (no hay interacción entre los nortes). En dicho caso, cumplen la ley de Curie ($\chi = \frac{C}{T}$) o la de Curie-Weiss ($\chi = \frac{C}{T-\Theta}$).

- $\epsilon = g\mu_B B_m$ (\Rightarrow considera E y B y que es cilíndrico)

($m \in \{-J, \dots, J\}$)

$$\begin{aligned} Z &= \sum g_m e^{-\beta \epsilon_m} = \sum_{m=-J}^J e^{-\beta g \mu_B B_m} = \sum_{m=-J}^J e^{-\frac{\theta}{T} m} = \frac{e^{\frac{\theta}{T}} - e^{-\frac{\theta}{T}}}{1 - e^{-\frac{\theta}{T}}} \\ \theta &= \frac{2J\mu_B}{k} \end{aligned}$$

$$\begin{aligned} \frac{e^{\frac{\theta}{T}} - e^{-\frac{\theta}{T}(J+1)}}{1 - e^{-\frac{\theta}{T}}} &= \frac{\ln \left[\frac{e^{\frac{\theta}{T}(J+1)}}{e^{\frac{\theta}{T}} - 1} \right]}{\ln \left[\frac{e^{\frac{\theta}{T}}}{e^{\frac{\theta}{T}} - 1} \right]} = \frac{\ln \left(\frac{e^{\frac{\theta}{T}(J+1)}}{e^{\frac{\theta}{T}} - 1} \right)}{\ln \left(\frac{e^{\frac{\theta}{T}}}{e^{\frac{\theta}{T}} - 1} \right)} = z \\ &\text{Multiplicando y dividendo por } e^{-\frac{\theta}{2T}} \\ &\text{yendo y dividiendo por } e^{-\frac{\theta}{2T}} \end{aligned}$$

$$Z = \left(\frac{\ln \left(\frac{e^{\frac{\theta}{T}(J+1)}}{e^{\frac{\theta}{T}} - 1} \right)}{\ln \left(\frac{e^{\frac{\theta}{T}}}{e^{\frac{\theta}{T}} - 1} \right)} \right)^N$$

Ley de Curie
(aprox. a la Ley de
Curie-Weiss)

$$\frac{\theta}{T} = \frac{-e^{-\frac{\theta}{T}}}{1 - e^{-\frac{\theta}{T}}} = \frac{e^{-\frac{\theta}{T}}}{e^{\frac{\theta}{T}} - 1}$$

1 - resum

La energía total $V = \int_0^{w_0} \epsilon(w) n(w) dw$, con

$$\epsilon(w) = \frac{V(w)}{N} = \frac{1}{2} \hbar w \frac{\hbar w}{e^{\beta \hbar w} - 1}$$

(longitud de onda de frecuencia w (calculada en μ))

$$U = \frac{qN}{w_0} \int_0^{w_0} \left(\frac{1}{2} \hbar w + \frac{\hbar w}{e^{\beta \hbar w} - 1} \right) w^2 dw : \left| \begin{array}{l} x = \frac{\hbar w}{kT}; w = \frac{kT}{\hbar} x \\ dw = \frac{kT}{\hbar} dx \end{array} \right| :$$

$$= \frac{q}{8} NK \theta_D + qNKT \left(\frac{T}{\theta_D} \right)^3 \int_0^{\theta_D/T} \frac{x^3 dx}{e^x - 1}$$

$$C_V = \left(\frac{\partial U}{\partial T} \right)_{N,V} = qNK \left(\frac{T}{\theta_D} \right)^3 \int_0^{\theta_D/T} \frac{4x^2}{e^x - 1} dx + qNKT \left(\frac{T}{\theta_D} \right)^3 \frac{d}{dT} \left[\int_0^{\theta_D/T} \frac{x^3}{e^x - 1} dx \right]$$

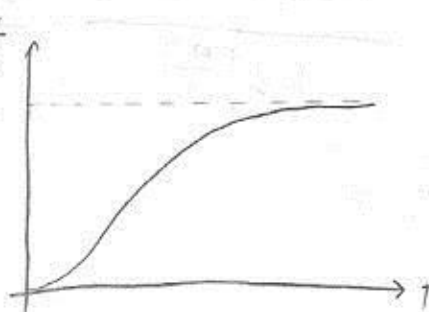
(cambiar $x = x/T$)

$$C_V = qNK \left(\frac{T}{\theta_D} \right)^3 \int_0^{\theta_D/T} \frac{x^4 e^x}{(e^x - 1)^2} dx$$

Ahora, a T pequeño: $\frac{\theta_D}{T} \rightarrow \infty$

- $\Rightarrow \int_0^{\theta_D/T} \frac{x^4 e^x}{(e^x - 1)^2} dx \approx \int_0^{\infty} \frac{x^4 e^x}{(e^x - 1)^2} dx = \frac{\pi^4}{15}$
- $x \ggg$

entonces, $C_V \approx qNK \frac{\pi^4}{15} \left(\frac{T}{\theta_D} \right)^3 \propto T^3$, que es lo que se ve experimentalmente



Este resultado es simple, pues $n(w)$ es un suscepto continuo, pero hay todo un efecto de frecuencia dinámica.

$$F = -kT \ln Z = -NkT \ln \frac{\tanh \frac{2J+1}{2J}x}{\tanh \frac{1}{2J}x} \quad (\text{Vale para cualquier } J, \text{ sea orbital o de spin; \\ si las que no haya interacción entre rotaciones})$$

$$S = -\left(\frac{\partial F}{\partial T}\right)_{NN} = -\left(\frac{\partial F}{\partial x}\right)_{NN} \frac{\partial x}{\partial T} = Nk \left[\ln \tanh \frac{2J+1}{2J}x - \ln \tanh \frac{1}{2J}x \right] + \underbrace{NkT \cdot \frac{\theta}{T^2} \cdot J}_{\propto Nk}$$

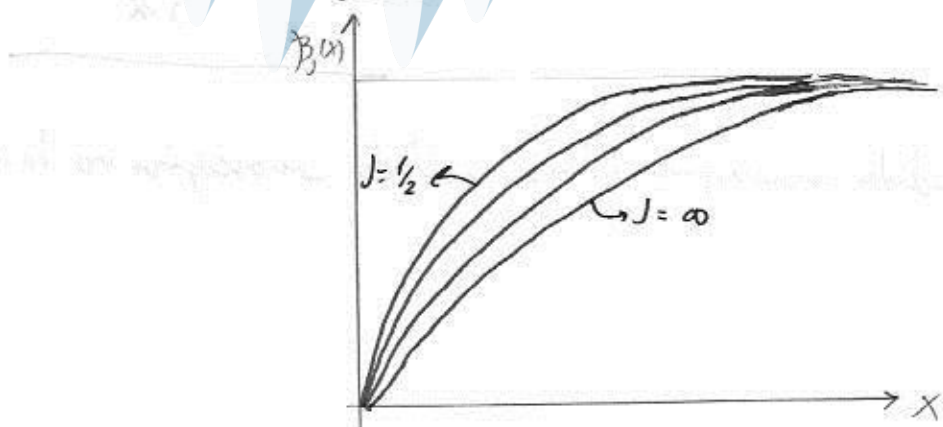
$$\cdot \left[\frac{\partial \ln Z}{\partial x} \right]$$

$\beta_J(x)$ (función de Brion)

$$S = Nk \left[\ln \tanh \frac{2J+1}{2J}x - \ln \tanh \frac{1}{2J}x \rightarrow \beta_J(x) \right]$$

$\beta_J(x)$ da información acerca del comportamiento del parámetro de orden.

$$\beta_J(x) = \frac{2J+1}{2J} \coth \left[\left(\frac{2J+1}{2J} \right) x \right] - \frac{1}{2J} \coth \left[\left(\frac{1}{2J} \right) x \right]$$



Van acercándose a un valor límite

Signific: $U = F - TS = -N \int g \mu_B B \beta_J(x)$

así, el valor nulo de $\beta_J(x)$ nos habla de la energía mínima que se da en la región desatenuada $\Rightarrow B \sim P.O.$

Como $V = V(B, T)$, la temperatura en la que se satura depende de B

• $M = -\left(\frac{\partial F}{\partial B}\right)_{N,T} = \underbrace{N J g \mu_B \beta_J(x)}_{} = M$ (comparable con los resultados experimentales.)

Esto permite deducir de forma macroscópica el valor de una magnitud microscópica como es J .

Como $\chi = \mu_0 \frac{M}{B}$, podemos comprobar la ley de Curie.

• $x \gg 1 \Leftrightarrow T \ll J\theta$: $\beta_J(x) \approx 1 - \frac{1}{J} e^{-\frac{x}{J}}$

Recorrido largo (andamiaje)

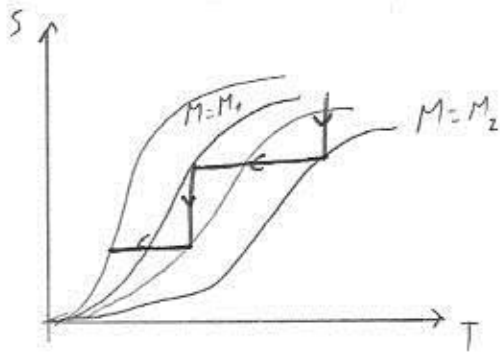
• $x \ll 1 \Leftrightarrow T \gg J\theta$: $\beta_J(x) \approx \frac{J+1}{3J} x - \frac{(2J+1)^4 - 1}{4J(2J)^2} x^3 + \dots$

así, a bajas temperaturas $M \approx N J g \mu_B$ (la magnetización es saturada)

a altas temperaturas $M \approx N \frac{J(J+1)g^2 \mu_0^2 B}{3kT} \Rightarrow$ se cumple la ley de Curie,
con $C = N \frac{\mu_0 J(J+1)g^2 \mu_0^2}{3k}$

De nuevo, se puede a partir de medidas macroscópicas determinar resultados microscópicos como J o N .

DESIMANACIÓN ADIABÁTICA



• Torneos: $J = 1/2$

$$g = 2$$

• Los sólo hay 2 niveles separados por una energía ϵ

$$\frac{N_2}{N_1} \propto e^{-\frac{\epsilon}{kT_i}} = e^{-\frac{\theta}{T_i}} \quad (\text{el número de población varía})$$

(y que es constante)

en el proceso adiabático las poblaciones no varían. Así, si tras introducir el agudo la diferencia

de energía es $\Delta E = g \mu_B B$:

$$\frac{N_2}{N_1} \propto e^{-\frac{\Delta E_i}{kT_i}} \quad \text{Algunas etapas, queda } e^{-\frac{\epsilon}{kT_f}}$$

$$\text{Como las poblaciones no varían, } T_f = T_i \frac{k\theta}{g\mu_B B} \quad \left(\begin{array}{l} \theta = 0.01k \\ T_i = 1K \\ B = 1T \end{array} \Rightarrow T_f = 0.007K \right)$$

• Esto tiene un límite: cuando las existencias propias del sistema son mayores que "típicas".

JACOBIANOS Y COORDENADAS GENERALIZADAS

La construcción de la mecánica estadística está basada en las formulaciones Hamiltoniana de la mecánica, que a priori es independiente de las coordenadas elegidas: NO hay que poner jacobianos, pues las variables enteras necesitan tener rango de general.

• Esto, ignorante, es cierto siempre que las transformaciones de coordenadas $q_i \rightarrow q'_i$ sean canonómicas. Esto se cumple, por ejemplo, si tenemos $p'_i = \frac{\partial L}{\partial q'_i}$ (esto va a garantizar el Jacobiano)

• Por otro lado, más técnico, el teorema de Liouville garantiza que bajo transformaciones canonómicas el volumen en el espacio de las fases permanece invariante, y en mecánica estadística trabajamos con volúmenes en el espacio de las fases.

